

# ПЕРЕХОДНОЕ ИЗЛУЧЕНИЕ ЧАСТИЦЫ, ДВИЖУЩЕЙСЯ ВДОЛЬ ОСИ КОНИЧЕСКОЙ ПОВЕРХНОСТИ, ОБЛАДАЮЩЕЙ ИДЕАЛЬНОЙ ПРОВОДИМОСТЬЮ

*A. V. Колыцов\*, A. V. Серов\*\**

*Физический институт им. П. Н. Лебедева Российской академии наук  
119991, Москва, Россия*

Поступила в редакцию 2 августа 2011 г.

Определено пространственное распределение поля переходного излучения релятивистской частицы, движущейся вдоль оси конической поверхности, обладающей идеальной проводимостью. Поверхность образована прямой, проходящей через неподвижную вершину и перемещающейся вдоль направляющей окружности. Рассмотрено излучение как в случае когда частица вылетает из вершины поверхности, так и в случае когда частица падает на вершину. Получены выражения, позволяющие вычислить угловые распределения интенсивности излучения при различных углах раствора от 0 до  $\pi$ . Показано, что пространственные распределения излучения частиц, вылетающих из вершины и падающих на вершину конической поверхности, имеют принципиальные различия.

## 1. ВВЕДЕНИЕ

Переходное излучение, генерируемое при пересечении заряженной частицей плоской границы раздела двух сред, впервые было рассмотрено в работе [1] и в дальнейшем наиболее полно исследовано как теоретически, так и экспериментально [2]. Исследованию излучения частиц, пересекающих сложные поверхности раздела, посвящено сравнительно небольшое число работ. Однако изучение особенностей спектрально-угловых распределений переходного излучения на таких поверхностях наряду с академическим представляет и практический интерес, поскольку позволяет ставить новые задачи и открывает дополнительные возможности в традиционных применениях этого излучения.

В частности, переходное излучение фокусируется, если частица пролетает по оси идеально проводящей поверхности, имеющей форму гиперболоида вращения [3], или пересекает тонкую линзу [4]. Особенности переходного излучения в двугранном угле рассмотрены в работах [5–7]. Было показано, что в двугранном угле угловые распределения более чувствительны к расположению точки перехода частицы через поверхность и к направлению движения частицы, чем излучение при пересечении плоской по-

верхности. Изменение положения точки перехода в двугранном угле изменяет спектр излучения, наблюдаемого под заданным углом. Кроме того, уменьшение угла раствора двугранного угла приводит к увеличению интенсивности переходного излучения и к изменению направления, под которым наблюдается максимальная интенсивность.

В настоящей работе рассматривается переходное излучение частицы, движущейся по оси конической поверхности, обладающей идеальной проводимостью.

Имеется большое количество материалов, которые в широком диапазоне частот обладают свойствами, близкими к свойствам идеальных проводников. Коническая поверхность с «идеальной» проводимостью может быть изготовлена, в частности, из тонкой металлической фольги, поскольку металлы в диапазоне от радиочастот до оптических частот можно считать идеально проводящими.

В работе получены выражения, позволяющие описать поле излучения как в пространстве рупора, образованного конической поверхностью (излучение в рупоре), так и в пространстве вне рупора (излучение на конусе). Обсуждаются особенности пространственного распределения излучения релятивистских частиц, вылетающих из конической поверхности и падающих на коническую поверхность.

\*E-mail: koltsov@x4u.lebedev.ru

\*\*E-mail: serov@x4u.lebedev.ru

## 2. ПЕРЕХОДНОЕ ИЗЛУЧЕНИЕ НА КОНИЧЕСКОЙ ПОВЕРХНОСТИ

Введем сферическую систему координат  $r, \theta, \varphi$ . Начало координат поместим в вершину конической поверхности. Осью конической поверхности будет прямая, проходящая через вершину и центр направляющей окружности. Угол раствора, т. е. угол между осью конической поверхности и образующей конуса, обозначим через  $\alpha$ . Частица с зарядом  $q$  движется со скоростью  $v$  вдоль радиуса.

В дальнейшем используется система единиц, в которой скорость света  $c = 1$ .

Как было показано в работе [8], в данной геометрии энергия  $dW$ , излучаемая в интервал частот  $d\omega$  в единицу телесного угла

$$d\Omega = \sin \theta d\theta d\varphi,$$

равна

$$\frac{dW}{d\omega d\Omega} \equiv W(\omega, \theta, \varphi) = |\mathbf{H}|^2 r^2 dr^2 = |K_\theta|^2 + |K_\varphi|^2, \quad (1)$$

где

$$K_\theta = \frac{q}{2 \sin \theta} \sqrt{\frac{2}{\pi}} \sum_{m=-\infty}^{\infty} m e^{im(\varphi - \varphi_0)} \times \\ \times \sum_{n=0}^{\infty} S_{mn}^{-1} P_{\nu_{mn}}^{|m|}(\cos \theta_0) \times \\ \times P_{\nu_{mn}}^{|m|}(\cos \theta) h_{mn} \exp \left( \frac{i \lambda_{mn} \pi}{2} + \frac{i \pi}{4} \right), \quad (2)$$

$$K_\varphi = \frac{iq}{2} \sqrt{\frac{2}{\pi}} \sum_{m=-\infty}^{\infty} e^{im(\varphi - \varphi_0)} \times \\ \times \sum_{n=0}^{\infty} S_{mn}^{-1} \frac{\partial}{\partial \theta} [P_{\nu_{mn}}^{|m|}(\cos \theta)] \times \\ \times P_{\nu_{mn}}^{|m|}(\cos \theta_0) h_{mn} \exp \left( \frac{i \lambda_{mn} \pi}{2} + \frac{i \pi}{4} \right), \quad (3)$$

$k$  — волновое число  $k = \omega$ ,  $\beta = v/c$  — приведенная скорость частицы,  $r_0, \theta_0, \varphi_0$  — координаты частицы

$$S_{mn} = \int_{\cos \alpha}^1 P_{\nu_{mn}}^{|m|}(x) P_{\nu_{mn}}^{|m|}(x) dx,$$

$P_{\nu_{mn}}^m(x)$  — функции Лежандра,  $\nu_{mn}$  — собственное значение, определяемое из решения граничной задачи  $P_{\nu_{mn}}^m(\cos \alpha) = 0$ ,  $m$  — число вариаций поля при

изменении угла  $\varphi$  от  $0$  до  $2\pi$ ,  $n$  — номер собственного значения при данном  $m$ ,

$$h_{mn} = \int \frac{J_{\lambda_{mn}}(kr_0(t))k \beta(t)}{(kr_0(t))^3/2} e^{-i\omega t} dt, \quad (4)$$

$J_{\lambda_{mn}}$  — функция Бесселя порядка  $\lambda_{mn} = \nu_{mn} + 1/2$ .

Рассмотрим влияние на угловое распределение излучения изменения направления движения частицы на противоположное. Отметим, что функция  $h_{mn}$  является комплексной и определяется траекторией частицы  $r_0(t)$ .

Случай, когда частица вылетает из вершины и движется с постоянной скоростью  $\beta$ , рассмотрен в работе [8]. При этом, формула (4) для  $h_{mn} = h_{mn}^{out}$  принимает вид

$$h_{mn}^{out} = \int_0^\infty \frac{J_{\lambda_{mn}}(kr_0(t))k \beta(t)}{(kr_0(t))^{3/2}} e^{-i\omega t} dt = \\ = i \exp \left( -\frac{i \lambda_{mn} \pi}{2} - \frac{i \pi}{4} \right) \frac{\beta^{\lambda_{mn} - \frac{1}{2}}}{2\sqrt{2\pi} \Gamma(\lambda_{mn} + 1)} \times \\ \times \Gamma \left( \frac{\lambda_{mn}}{2} - \frac{1}{4} \right) \Gamma \left( \frac{\lambda_{mn}}{2} + \frac{1}{4} \right) \times \\ \times {}_2F_1 \left( \frac{\lambda_{mn}}{2} - \frac{1}{4}, \frac{\lambda_{mn}}{2} + \frac{1}{4}; \lambda_{mn} + 1; \beta^2 \right), \quad (5)$$

где  $\Gamma(x)$  — гамма-функция,  ${}_2F_1(x)$  — гипергеометрическая функция Гаусса.

Тогда для  $K_\varphi^{out}$  и  $K_\theta^{out}$  с точностью до постоянного фазового множителя получаем

$$K_\theta^{out} = \frac{iq}{\sin \theta} \sum_{m=-\infty}^{\infty} m e^{im(\varphi - \varphi_0)} \times \\ \times \sum_{n=0}^{\infty} S_{mn}^{-1} P_{\nu_{mn}}^{|m|}(\cos \theta_0) \times \\ \times P_{\nu_{mn}}^{|m|}(\cos \theta) H_{mn}(\beta), \quad (6)$$

$$K_\varphi^{out} = -q \sum_{m=-\infty}^{\infty} e^{im(\varphi - \varphi_0)} \times \\ \times \sum_{n=0}^{\infty} S_{mn}^{-1} \frac{\partial}{\partial \theta} [P_{\nu_{mn}}^{|m|}(\cos \theta)] \times \\ \times P_{\nu_{mn}}^{|m|}(\cos \theta_0) H_{mn}(\beta), \quad (7)$$

где функции  $S_{mn}$  и  $H_{mn}(\beta)$  описываются соотношениями

$$S_{mn} = \frac{\sin \alpha}{2\nu_{mn} + 1} \times \\ \times P_{\nu_{mn}}^{m+1}(\cos \alpha) \left. \frac{\partial}{\partial \nu} P_{\nu}^m(\cos \alpha) \right|_{\nu=\nu_{mn}}, \quad (8)$$

$$H_{mn}(\beta) = \frac{\beta^{\nu_{mn}}}{4\pi\Gamma\left(\nu_{mn} + \frac{3}{2}\right)} \Gamma\left(\frac{\nu_{mn}}{2}\right) \Gamma\left(\frac{\nu_{mn}+1}{2}\right) \times \\ \times {}_2F_1\left(\frac{\nu_{mn}}{2}, \frac{\nu_{mn}+1}{2}; \nu_{mn} + \frac{3}{2}; \beta^2\right). \quad (9)$$

В случае заряда, когда заряд движется к вершине (противоположное направление движения), скорость заряда отрицательна и интегрирование по времени ведется от момента  $t = -\infty$  до момента  $t = 0$ . Поэтому для  $h_{mn} = h_{mn}^{in}$  имеем

$$h_{mn}^{in} = - \int_{-\infty}^0 \frac{J_{\lambda_{mn}}(kr_0(-t))k\beta(-t)}{(kr_0(-t))^{3/2}} e^{-i\omega t} dt = \\ = \int_0^\infty \frac{J_{\lambda_{mn}}(kr_0(t))k\beta(t)}{(kr_0(t))^{3/2}} e^{i\omega t} dt = -\bar{h}_{mn}^{out},$$

где  $\bar{h}_{mn}$  — функция, комплексно-сопряженная  $h_{mn}$ . Таким образом, при изменении направления движения частицы на противоположное функция  $h_{mn}$  меняется на комплексно-сопряженную и меняется знак функции.

При падающей на вершину частице для  $K_\varphi^{in}$  и  $K_\theta^{in}$  с точностью до постоянного фазового множителя имеем

$$K_\theta^{in} = -\frac{q}{\sin\theta} \sum_{m=-\infty}^{\infty} m e^{im(\varphi-\varphi_0)} \times \\ \times \sum_{n=0}^{\infty} S_{mn}^{-1} P_{\nu_{mn}}^{|m|}(\cos\theta_0) \times \\ \times P_{\nu_{mn}}^{|m|}(\cos\theta) H_{mn}(\beta) e^{i\lambda_{mn}\pi}, \quad (10)$$

$$K_\varphi^{in} = -iq \sum_{m=-\infty}^{\infty} e^{im(\varphi-\varphi_0)} \times \\ \times \sum_{n=0}^{\infty} S_{mn}^{-1} \frac{\partial}{\partial\theta} [P_{\nu_{mn}}^{|m|}(\cos\theta)] \times \\ \times P_{\nu_{mn}}^{|m|}(\cos\theta_0) H_{mn}(\beta) e^{i\lambda_{mn}\pi}. \quad (11)$$

Сравнение выражений (6), (7) с выражениями (10), (11) показывает, что члены ряда, описывающие распределение поля при вылете из вершины и при падении на вершину и имеющие одинаковые  $m n$ , отличаются по фазе на величину  $e^{i\lambda_{mn}\pi}$ , зависящую от собственного значения  $\lambda_{mn}$ .

Полная энергия, испущенная на данной частоте, равна

$$\frac{dW}{d\omega} \equiv W(\omega) = \int_0^\alpha \int_0^{2\pi} (|K_\theta|^2 + |K_\varphi|^2) \sin\theta d\theta d\varphi. \quad (12)$$

После интегрирования по  $\theta$  и  $\varphi$  получаем

$$W(\omega) = 2\pi q^2 \sum_{m=-\infty}^{\infty} \sum_{n=0}^{\infty} |H_{mn}|^2 \nu_{mn} (\nu_{mn} + 1) \times \\ \times S_{mn}^{-1} \left[ P_{\nu_{mn}}^{|m|}(\cos\theta_0) \right]^2. \quad (13)$$

Из выражения (13) следует, что полная энергия излучения не зависит от направления движения заряда.

При инжекции заряда вдоль оси конической поверхности электромагнитное поле излучения становится азимутально-симметричным (не зависящим от угла  $\varphi$ ), поэтому в выражениях для  $K_\varphi$  и  $K_\theta$  нужно оставить только члены с  $m = 0$ . В этом случае  $K_\theta = 0$ , а для  $K_\varphi$  с учетом свойств функций Лежандра получаем

$$K_\varphi^{out} = q \sum_{n=0}^{\infty} S_n^{-1} P_{\nu_n}^1(\cos\theta) H_n(\beta), \quad (14)$$

$$K_\varphi^{in} = -iq \sum_{n=0}^{\infty} S_n^{-1} P_{\nu_n}^1(\cos\theta) H_n(\beta) e^{i\lambda_n\pi}, \quad (15)$$

где

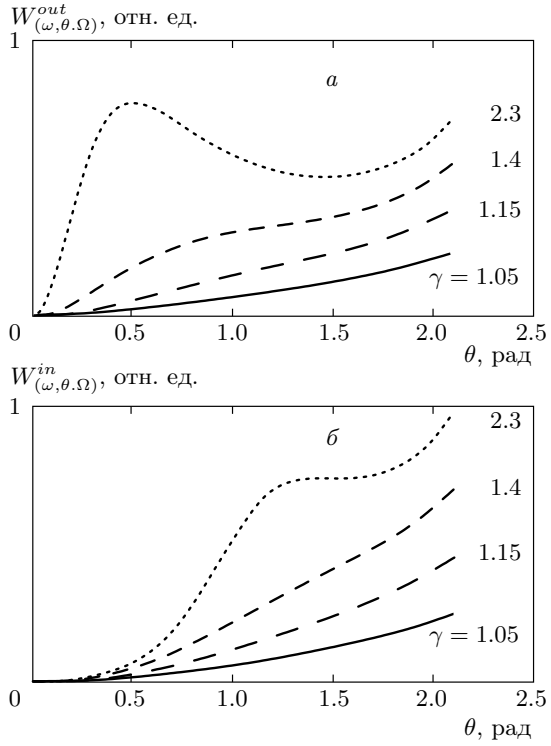
$$S_n = \frac{\sin\alpha}{2\nu_n + 1} P_{\nu_n}^1(\cos\alpha) \left. \frac{\partial}{\partial\nu} P_\nu(\cos\alpha) \right|_{\nu=\nu_n}, \quad (16)$$

$$H_n(\beta) = \frac{\beta^{\nu_n}}{4\pi\Gamma(\nu_n + \frac{3}{2})} \Gamma\left(\frac{\nu_n}{2}\right) \times \\ \times \Gamma\left(\frac{\nu_n + 1}{2}\right) {}_2F_1\left(\frac{\nu_n}{2}, \frac{\nu_n + 1}{2}; \nu_n + \frac{3}{2}; \beta^2\right). \quad (17)$$

При угле раствора  $\alpha = \pi/2$  коническая поверхность превращается в плоскость. В этом случае, как показывают расчеты, угловое распределение переходного излучения, описываемое формулами (14)–(17), совпадает с результатами, полученными в первой работе Б. Л. Гинзбурга и И. М. Франка по теории переходного излучения [1].

### 3. ОСОБЕННОСТИ ПЕРЕХОДНОГО ИЗЛУЧЕНИЯ ЧАСТИЦ, ПАДАЮЩИХ НА ВЕРШИНУ КОНИЧЕСКОЙ ПОВЕРХНОСТИ И ВЫЛЕТАЮЩИХ ИЗ ВЕРШИНЫ

Формулы (14)–(17) описывают переходное излучение зарядов как падающих на вершину конической поверхности, так и вылетающих из вершины.



**Рис. 1.** Угловые распределения интенсивности переходного излучения частиц вылетающих из поверхности (*a*) и падающих на поверхность (*b*) при различных энергиях  $\gamma$ ;  $\alpha = \pi/1.5 = 120^\circ$

Были проведены расчеты при различных углах раствора  $\alpha$  и различных энергиях частиц

$$\gamma = \frac{1}{\sqrt{1 - \beta^2}}.$$

Угловое распределение энергии излучения частицы, вылетающей из вершины, описывается выражением

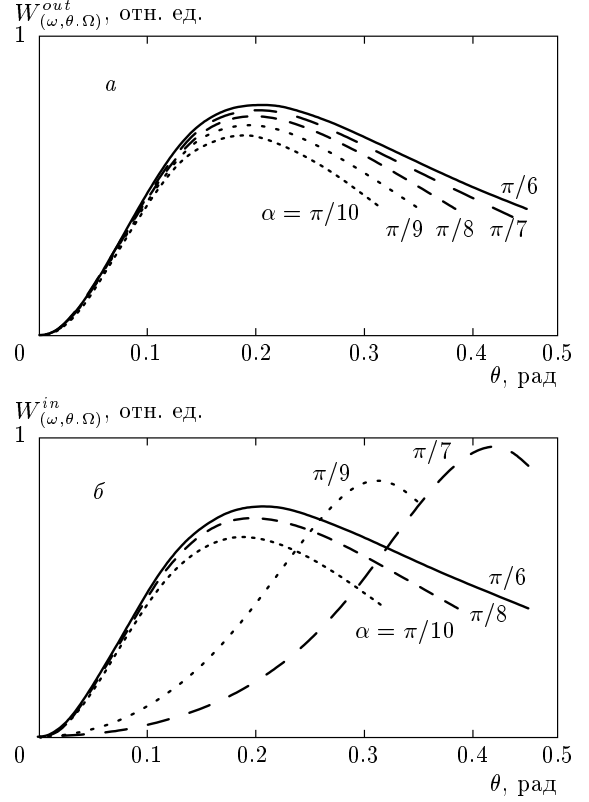
$$W^{out}(\omega, \theta, \varphi) = 2\pi q^2 \left| \sum_{n=0}^{\infty} S_n^{-1} P_{\nu_n}^1(\cos \theta) H_n(\beta) \right|^2, \quad (18)$$

а частицы, падающей на вершину, выражением

$$W^{in}(\omega, \theta, \varphi) = 2\pi q^2 \left| \sum_{n=0}^{\infty} S_n^{-1} P_{\nu_n}^1(\cos \theta) H_n(\beta) e^{i\lambda_{mn}\pi} \right|^2, \quad (19)$$

где функции  $S_n^{-1}$  и  $H_n(\beta)$  определяются формулами (16) и (17).

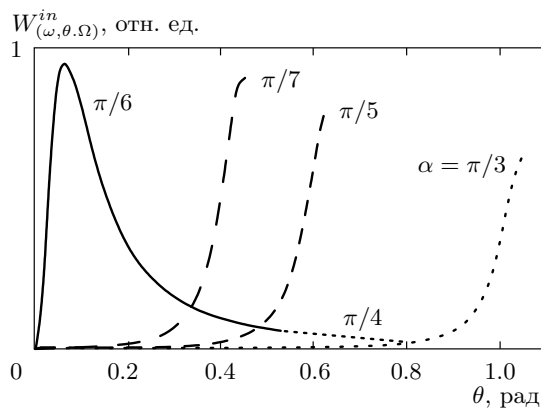
На рис. 1 показаны распределения энергии излучения слаборелятивистских частиц ( $1.05 \leq \gamma \leq 2.3$ ).



**Рис. 2.** Угловые распределения излучения при углах раствора  $\alpha$ , соизмеримых с угловой расходимостью излучения  $\theta_m = 1/\gamma$ ; *a* — частицы вылетают из рупора, *b* — частицы влетают в рупор;  $\gamma = 5$

Для электронов это соответствует диапазону энергий от 20 до 650 кВ. Угол раствора конической поверхности был равен  $\alpha = \pi/1.5 = 120^\circ$ . Кривые на рис. 1*a* показывают распределения энергии вылетающих частиц  $W^{out}(\omega, \theta, \varphi)$ , на рис. 1*b* — распределение энергии падающих частиц  $W^{in}(\omega, \theta, \varphi)$ . Из рисунков следует, что при малых энергиях ( $\gamma = 1.05, 1.15$  — энергия электронов 20 и 75 кВ) распределения излучения падающих и вылетающих частиц совпадают, а излучают частицы, в основном, в сторону, противоположную направлению движения. Но уже при энергиях  $\gamma = 2.4$  максимумы излучения наблюдаются под различными углами  $\theta$ , а также заметно отличаются (примерно на 30 %) интенсивности излучения вдоль поверхности конуса.

Рассмотрим влияние изменения угла раствора на пространственное распределение излучения. Графики на рис. 2 иллюстрируют это влияние в случае, когда углы раствора  $\alpha$  соизмеримы с углом  $\theta_r = 1/\gamma$ . При расчетах энергия частиц принималась равной  $\gamma = 5$ . Углы раствора удовлетворяли

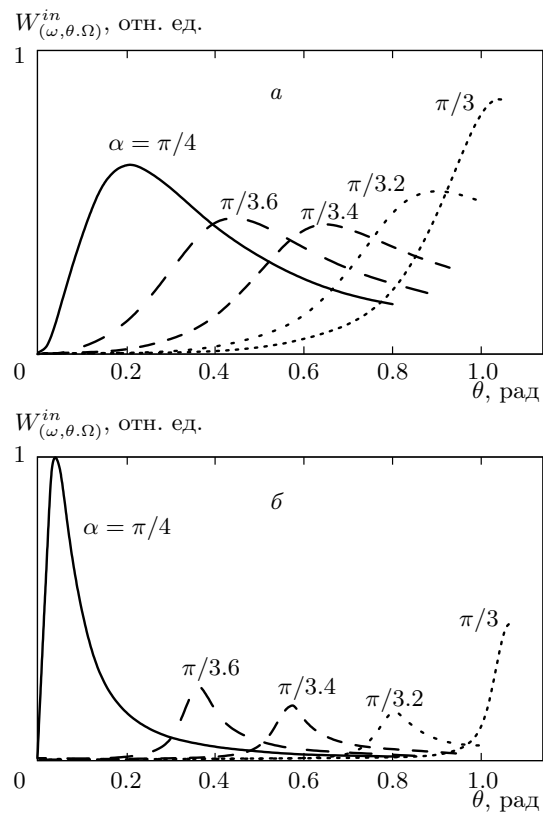


**Рис. 3.** Зависимости углового распределения излучения частиц, влетающих в рупор с различными углами раствора  $\alpha = \pi/n > 2/\gamma$ ;  $\gamma = 15$

условию  $\alpha < \pi/2$ , следовательно, частицы двигались внутри рупора образованного конической поверхностью. Из рис. 2а (частица вылетает из рупора) следует, что при  $\alpha = \pi/6$  максимальная интенсивность приходится на угол  $\theta_m \approx \theta_r$ . Уменьшение раствора рупора приводит к снижению интенсивности излучения в максимуме и уменьшению угла  $\theta_m$  ( $\theta_m < \theta_r$ ).

Когда частица влетает в рупор (рис. 2б), уменьшение раствора вызывает колебания интенсивности излучения в максимуме и угла  $\theta_m$ , под которым наблюдалась максимальная интенсивность. Из рисунка следует, что при углах раствора  $\alpha = \pi/n$ , когда  $n$  — целое и нечетное число, максимум интенсивности излучения приходится на углы  $\theta_m \approx \alpha$ , т.е. излучение прижимается к поверхности рупора. Когда углы  $\alpha = \pi/n$ , а  $n$  — целое четное, максимальная интенсивность излучения наблюдается под углами  $\theta_m \approx \theta_r$ .

Распределения излучения частиц, влетающих в рупор, изображены на рис. 3. Энергия частиц в расчетах принималась равной  $\gamma = 15$ , а растворы конуса были равны  $\alpha = \pi/n$ . Видно, что характер угловых распределений для углов раствора  $\alpha = \pi/n$  существенно зависит от того четное или нечетное  $n$ . Сравнение зависимостей  $W^{in}(\omega, \theta, \varphi)$  для углов раствора  $\alpha = \pi/6$  и  $\alpha = \pi/4$  показывает, что графики в диапазоне углов  $0 \leq \theta \leq \pi/6$  совпадают, т.е. увеличение угла раствора не влияет на распределение интенсивности излучения внутри рупора. Кроме того, когда  $n$  четное, частицы, влетающие в рупор и вылетающие из рупора, имеют одинаковое пространственное распределение излучения ( $W^{in}(\omega, \theta, \varphi) = W^{out}(\omega, \theta, \varphi)$ ). Максимальная интенсивность приходится на угол  $\theta_m = 1/\gamma$ .

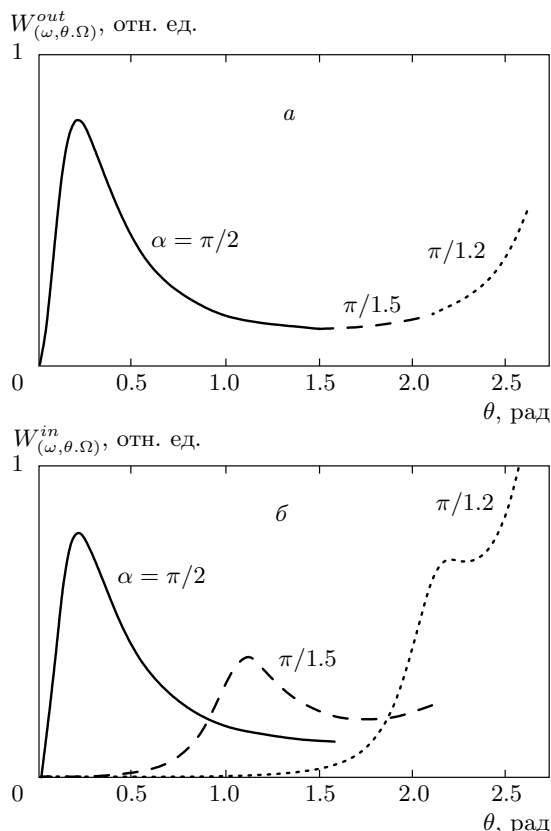


**Рис. 4.** Угловые распределения при углах раствора  $\pi/4 \leq \alpha \leq \pi/3$ ; энергия частиц  $\gamma = 5$  (а) и 25 (б)

При нечетном  $n$  под углами  $\theta_m = 1/\gamma$  излучение подавлено. Все излучение сосредоточено вблизи поверхности рупора. Поэтому увеличение  $\alpha$  приводит к росту расходности излучения.

Как показали расчеты, в случае, когда частица вылетает из рупора, увеличение угла раствора не изменяет распределение излучения в рупоре, а только раздвигает границы распространения излучения. При влете частиц в рупор влияние изменения раствора на распределение излучения имеет другой характер. Кривые на рис. 4 показывают зависимости  $W^{in}(\omega, \theta, \varphi)$  при увеличении угла раствора в диапазоне от  $\alpha = \pi/3$  до  $\alpha = \pi/1.7$ . При энергии частиц  $\gamma = 5$  (рис. 4а), максимальная интенсивность будет наблюдаться при растворе  $\alpha = \pi/3$  под углом  $\theta \approx \pi/3$ . При более высокой энергии  $\gamma = 25$  (рис. 4б) максимум интенсивности приходится на раствор рупора  $\alpha = \pi/2$  и угол  $\theta = 1/\gamma$ .

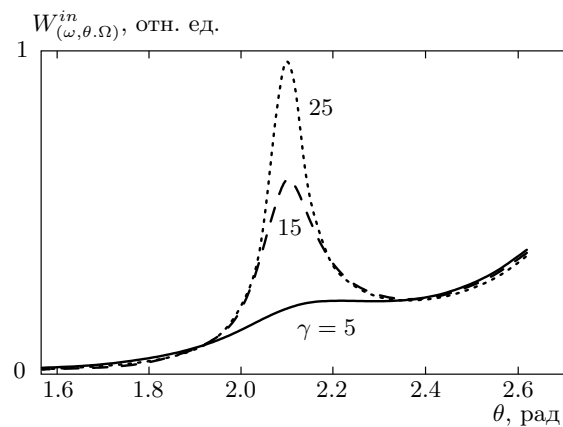
Отметим, что для углов с раствором  $\alpha = \pi/n$ , когда  $n$  — четное число, с увеличением энергии частиц амплитуда излучения под углом  $\theta_m = 1/\gamma$  возрастает пропорционально  $\gamma^2$  (так же, как при излучении частицы, пересекающей плоскость).



**Рис. 5.** Угловые распределения излучения при углах раствора  $\alpha > \pi/2$ ; *a* — частицы вылетают из рупора, *б* — частицы влетают в рупор;  $\gamma = 5$

На рис. 5 показаны угловые распределения интенсивности при углах раствора  $\alpha \geq \pi/2$ . Из рис. 5*a* видно, что при углах раствора  $\alpha > 2/\gamma$  угловые распределения излучения частиц, вылетающих из рупора, практически не зависят от  $\alpha$ , и определяются только энергией частиц  $\gamma$ . При этом зависимость энергии излучения от угла  $\theta$  в диапазоне  $0 \leq \theta \leq \pi/2$  совпадает с распределением энергии частицы, пересекающей плоскость. Но при увеличении  $\alpha$  происходит существенный рост интенсивности излучения, направленного в сторону противоположную движению частицы, т. е. под углами  $\theta > \pi/2$ . Особенно увеличивается излучение под углами близкими к образующей конической поверхности  $\theta \approx \alpha$ .

Анализ результатов расчетов показал, что при релятивистских энергиях ( $\gamma > 10$ ) угловые распределения излучения с точностью  $10^{-2}$  аппроксимируются выражениями



**Рис. 6.** Зависимость углового распределения излучения от энергии частиц  $\gamma$ ;  $\alpha = \pi/1.2 = 150^\circ$

$$K_\varphi = \begin{cases} \frac{q\beta \sin \theta}{\pi(1 - \beta^2 \cos^2 \theta)} & \theta \leq \frac{\pi}{2}, \\ \frac{q}{\pi \sin \theta} & \theta \geq \frac{\pi}{2}. \end{cases} \quad (20)$$

Излучение, направленное вперед ( $0 < \theta < \pi/2$ ), имеет максимум интенсивности под углом  $\theta_r = 1/\gamma$ , характерным для излучения релятивистских частиц. Излучение, направленное назад  $\pi/2 < \theta < \pi$ , пропорционально  $1/\sin \theta$ . С увеличением  $\gamma$  точность аппроксимации повышается.

Когда частица падает на вершину конуса (рис. 5*b*), увеличение  $\alpha$ , во-первых, вызывает смещение первого максимума в угловом распределении интенсивности в сторону больших углов  $\theta$ , а во-вторых, приводит к увеличению интенсивности излучения вдоль поверхности конуса.

На рис. 6*a* изображены распределения интенсивности излучения частиц с различной энергией на конусе с углом  $\alpha = \pi/1.2 = 150^\circ$ . Из рисунка следует, что рост энергии частиц приводит к увеличению интенсивности под углом  $\theta_m = 2\alpha - \pi$ , но не изменяет интенсивность излучения вдоль поверхности конуса.

#### 4. ЗАКЛЮЧЕНИЕ

В работе получены выражения, описывающие пространственное распределение переходного излучения возбуждаемого заряженной частицей, пересекающей коническую поверхность. Показано, что характер угловых распределений переходного излучения частиц, падающих на коническую поверхность и вылетающих из нее, существенно отличается.

Когда частица вылетает из конической поверхности, имеющей угол раствора  $\alpha \geq 2/\gamma$ , распределение излучения в направлении движения (т. е. под углами  $0 \leq \theta \leq \pi/2$ ) не зависит от раствора, а определяется только энергией частиц  $\gamma$  ( $\theta_m = 1/\gamma$ ). Интенсивность излучения в противоположном направлении (т. е. под углами  $\pi/2 \leq \theta \leq \pi$ ) увеличивается с ростом  $\alpha$  и при углах  $\theta \approx \pi$  энергия излучения  $W \sim 1/\sin \theta$ .

Распределение излучения частицы, падающей на коническую поверхность с углом раствора  $\alpha < \pi/2$ , определяется величиной  $\alpha$ . При  $\alpha = \pi/n$ , где  $n$  — четное число, распределения излучения падающей и вылетающей частицы совпадают:

$$W^{in}(\omega, \theta, \varphi) = W^{out}(\omega, \theta, \varphi).$$

Когда  $n$  — нечетное число, излучение прижато к поверхности ( $\theta_m = \alpha$ ) и подавлено под углами  $\theta = 1/\gamma$ . При больших углах раствора  $\pi/2 \leq \alpha \leq \pi$  распределение излучения имеет два максимума: под углом  $\theta_{1m} = 2\alpha - \pi$  и вдоль конической поверхности  $\theta_{2m} = \alpha$ .

Авторы благодарны Б. М. Болотовскому за обсуждение работы. Работа выполнена при финансовой поддержке РФФИ (грант № 10-02-01481).

## ЛИТЕРАТУРА

1. В. Л. Гинзбург, И. М. Франк, ЖЭТФ **16**, 15 (1946).
2. В. Л. Гинзбург, В. Н. Цытович, *Переходное излучение и переходное рассеяние*, Наука, Москва (1984).
3. М. И. Рязанов, И. С. Тилинин, ЖЭТФ **71**, 2078 (1976).
4. Б. М. Болотовский, А. В. Серов, Письма в ЖЭТФ **86**, 8 (2007).
5. M. I. Ryazanov and A. N. Safronov, Laser Phys. **6**, 708 (1996).
6. А. В. Серов, Б. М. Болотовский, ЖЭТФ **131**, 994 (2007).
7. А. В. Кольцов, А. В. Серов, **136**, 44 (2009).
8. А. В. Кольцов, А. В. Серов, **136**, 1170 (2009).